

# 藻類の光合成を護る多様なエレクトロンシンク

櫻田 涼太 1・嶋川 銀河 1\*

1 神戸大学大学院農学研究科(〒 657-8501 兵庫県神戸市灘区六甲台 1-1)

Ryota Sakurada<sup>1</sup> and Ginga Shimakawa<sup>1\*</sup>: Diverse electron sinks of photosynthesis in algae. Jpn. J. Phycol. (Sôrui) 73: 159–165, November 10, 2025

Light energy drives the photosynthetic electron transport to generate reducing power such as NADPH in plants and algae. While the reducing power is mainly utilized for CO<sub>2</sub> assimilation in the Calvin cycle, there are some other biological reactions requiring it in photosynthetic cells. Here, we define these reactions altogether as "electron sink". Compared with C3 plants where the Calvin cycle and photorespiration commonly function as the dominant electron sink, algae possess diverse molecular mechanisms underpinning large electron-sink capacities. In blue-green and green algae, flavodiiron proteins catalyze O<sub>2</sub> photoreduction, although the electron sink capacity is totally different among species. The diatom *Phaeodactylum tricornutum* shows a larger O<sub>2</sub> evolution than CO<sub>2</sub> fixation, suggesting one third of photosynthetic reducing power is utilized for other metabolism(s) than the Calvin cycle. Further, various electron sinks contribute to P700 oxidation in algae harboring red plastids, of which molecular mechanisms remain to be elucidated.

Key Index Words: Flavodiiron protein, Photorespiration, Photosynthesis, Photosynthetic quotient, P700 oxidation

<sup>1</sup>Graduate School of Agricultural Science, Kobe University, 1-1 Rokkodai, Nada, Kobe 657-8501, Japan

#### はじめに:光合成電子伝達とエレクトロンシンク

光合成は、光エネルギーを利用して水(H,O)と二酸化炭 素(CO<sub>2</sub>)から有機物を合成し、同時に酸素(O<sub>2</sub>)を放出す るプロセスである。主に植物や藻類によって行われ、地球上 の炭素循環や酸素供給においてきわめて重要な役割を果たす。 光合成は、おおまかに明反応(電子伝達反応)と暗反応(炭 素同化反応)の2つの主要な反応過程に分けられる。電子伝 達反応は、葉緑体内のチラコイド膜で起こり、光エネルギー とH,OをATPやNADPHへ変換するプロセスである。ま ずクロロフィルなど光合成色素に吸収された光エネルギーに よって光化学系IIタンパク質複合体(PSII)の反応中心ク ロロフィル (P680) が励起され、電荷分離が起こる。これに よってチラコイド膜に存在するプラストキノン(PQ)が還元 され, さらにシトクロム b<sub>6</sub>f 複合体 (Cyt b<sub>6</sub>f) や, プラスト シアニン (PC) またはシトクロム  $c_6$  (Cyt  $c_6$ ) を経由して光 化学系 I タンパク質複合体 (PSI) へと電子伝達が生じる。同 時に PSII では H,O が酸化分解(ここで O, が生じる)され ることで P680+の再還元が起こる。一方で、PSI においても 反応中心クロロフィル (P700) が光酸化還元を駆動し、電子 受容側に位置するフェレドキシン(Fd)と Fd-NADP+還元酵 素(FNR)を介して NADP+を NADPH へと還元する。また, これらの過程で水素イオン (H+) がチラコイド膜内腔に蓄積 し, これが駆動力となって ATP 合成が進行する (図 1)。 炭 素同化反応では、カルビン回路によって電子伝達で生成した ATP と NADPH を使って  $CO_2$  の同化が行われる。具体的にはリブロース 1,5-ビスリン酸カルボキシラーゼ / オキシゲナーゼ (RuBisCO) によって触媒される  $CO_2$  固定反応で生じた 2分子の 3-ホスホグリセリン酸 (PGA) をリン酸化,還元するために ATP と NADPH を消費し,さらに RuBisCO の基質であるリブロース 1,5-ビスリン酸を再生成するために 1分子の ATP を用いる(図 1)。まとめると,1分子の  $CO_2$  が固定されるにあたって 2分子の NADPH と 3分子の ATP がカルビン回路で消費されることになる。なお,2分子の NADPH を生じるためには電子が 4 つ必要であるため,PSII では 2分子の  $H_2O$  が酸化され,1分子の  $O_2$  が生じる計算になる。

上ではチラコイド膜の電子伝達系とカルビン回路を中心に 光合成の仕組みを説明したが、実際に植物の葉で起こる現象 を想定した場合、光呼吸も考慮する必要がある。RuBisCO は  $O_2$ とも反応し、この場合 PGA と 2-ホスホグリコール酸を 1分子ずつ生じるが、2-ホスホグリコール酸は生体にとって毒と なるため、葉緑体・ペルオキシソーム・ミトコンドリアは協 同してこれを PGA へ変換してカルビン回路へ戻す。RuBisCO のオキシゲナーゼ反応から始まるこれら一連のプロセスは光 呼吸と総称され、言葉通りに  $O_2$  の消費と  $CO_2$  の放出を伴う。 重要な点として、光呼吸が駆動すると電子伝達で生じた還元 力や ATP が消費される(厳密にはカルビン回路のみの時と比 べて 1 割程度多く ATP を消費する計算になる)。カルビン回 路や光呼吸のように、光合成の還元力を消費する(すなわち

<sup>\*</sup>Author for correspondence: gshimakawa@panda.kobe-u.ac.jp

160 櫻田・嶋川

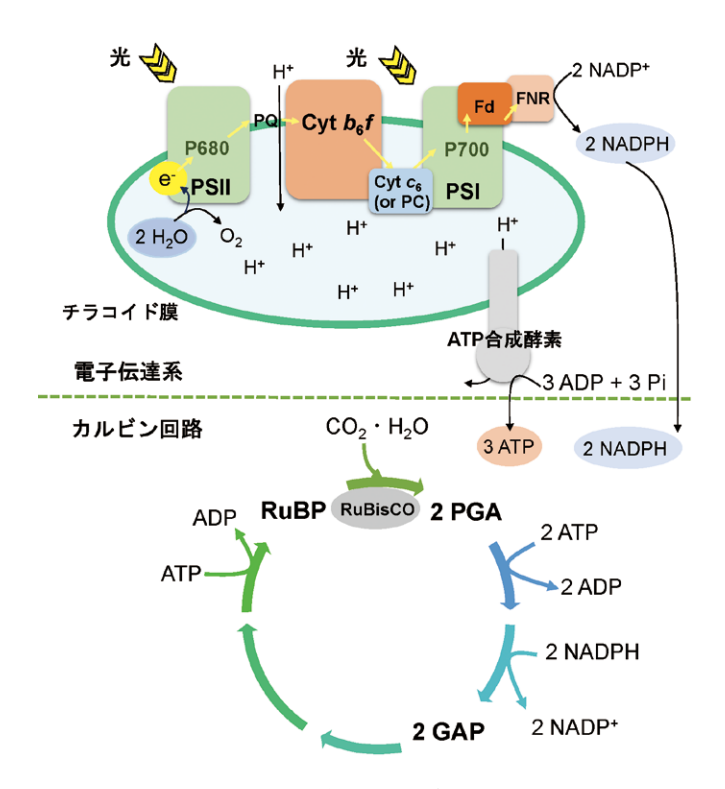


図 1. 光合成における電子伝達反応と炭素同化反応の概要図. PSII: 光化学系 II, PSI: 光化学系 I, PQ: プラストキノン, Cyt  $b_a$ f: シトクロム  $b_a$ f 複合体, Cyt  $c_c$ : シトクロム  $c_a$ , PC: プラストシアニン, Fd: フェレドキシン, FNR: Fd-NADP 還元酵素, RuBP: リブロース 1,5-ビスリン酸, PGA: 3-ホスホグリセリン酸, GAP: グリセルアルデヒド 3 リン酸, RuBisCO: リブロース 1,5-ビスリン酸カルボキシラーゼ / オキシゲナーゼ.

電子の受け口となる)反応を、本稿では「エレクトロンシンク」と呼ぶ。この他にも光合成のエレクトロンシンクとしては、還元型 PQ を電子供与体として  $O_2$  還元を触媒する Plastid terminal oxidase やミトコンドリアへの還元力輸送(最終的には Alternative oxidase などを介して  $O_2$  還元が生じる),活性酸素の生成およびペルオキシダーゼによる消去,また還元型 Fd を電子供与体に用いる窒素同化代謝や硫黄同化代謝など様々な反応が挙げられる(Alric & Johnson 2017,嶋川 2025)。

光合成生物においてエレクトロンシンクは何のために存在するのか?一つは還元力を利用した物質生産など生命維持にかかわる。例えばカルビン回路では糖の合成のために,また窒素同化代謝では硝酸態窒素の還元やアミノ酸合成に還元力が利用される。これら生体反応に光合成の還元力を用いるのは,まさに独立栄養生物ならではといえる。一方,エレクトロンシンクがもつ明確な生理機能として過剰な還元力の散逸も挙げられる。光合成は,電子伝達系における還元力の生成とカルビン回路におけるその消費とのバランスにより成り立つが,強光や低 $\mathrm{CO}_2$ などの環境変化によってカルビン回路の需要を上回る還元力が生成する恐れがあり,これがやがて細胞内で有毒な活性酸素を生成し,光合成タンパク質を失活させてしまう(嶋川・三宅 2017,Krieger-Liszkay & Shimakawa

2022)。これを防ぐため、エレクトロンシンクが還元力の安全弁としての役割を担っている。ただし、エレクトロンシンクが光合成における過剰な還元力の散逸に寄与するためには、それ相応の電子伝達フラックス(エレクトロンシンク能)を有している必要がある。それゆえ光合成の研究では、ある反応がエレクトロンシンクか否かにとどまらず、それがどの程度のエレクトロンシンク能をもっているかを評価することが重要となる。実際、多くの陸上植物において上に挙げた反応が示すエレクトロンシンク能はいずれもカルビン回路と比べると非常に小さく、量的な観点でいえば光合成における還元力の消費はカルビン回路と光呼吸だけで説明できてしまう(Driever & Baker 2011)。

近年の研究により、主に水圏で光合成を行う藻類では、冒頭で述べたように光合成電子伝達が植物同様のメカニズムで行われる一方、過剰な還元力の消費にはたらくエレクトロンシンクが植物とまったく異なることが分かってきた。すなわち、植物と藻類では「 $H_2O$  と光エネルギーから得た還元力をどこに、どれくらい使っているのか」その還元力の分配が異なる。そもそも藻類と一括りにされる生物群には、藍藻、緑藻、紅藻、灰色藻、珪藻、ユーグレナ藻、褐藻など、それぞれ異なる進化を遂げた生物種が混在し、またその生息環境は池や川など淡水域から、海水域、氷雪地域、温泉地など、広範な光強度、塩濃度、pH、温度条件にわたる。こうした系統的・生態的背景の違いが生物種に独特な還元力の使い方を生んだのかもしれない。本稿では、藻類において余剰還元力の消費に寄与しうる多様なエレクトロンシンクについて、我々がこれまで 10 年間に行ってきた研究を中心に解説する。

## 光合成電子伝達および O。依存的エレクトロンシンクの評価

ある生物のもつ情報を生きたまま非破壊的に評価するアプ ローチ、すなわち生理解析の技術は光合成生物において特に 高水準な技術である。その最も大きな理由が光合成色素を利 用できる点であり、例えばクロロフィルが発する蛍光からは 光合成生物の生理状態を読み取ることができる。パルス変調 クロロフィル蛍光・吸光測定(いわゆる PAM 測定)からは 光合成電子伝達速度や PSII, PSI など各光合成コンポーネン トの酸化還元状態、失活度合いなどを評価することが可能だ が、従来この手法が頻用される陸上植物の生葉と比べ、異な る色素や形態を有する藻類の細胞では得られるパラメータの 定量性が疑わしいケースが多い。そこで我々は、最もシンプ ルかつ定量的な生理解析機器である酸素電極とクロロフィル 蛍光の同時測定によって電子伝達速度を評価した(※実験系 は神戸大学三宅研究室で独自に立ち上げられたもの)。光合成 が駆動したとき、O,発生量と電子伝達速度は比例関係にある はずだが、光呼吸のように  $O_2$  消費を伴うエレクトロンシンク が機能すればその分だけ見かけの $O_2$ 発生量が減るため、 $O_2$ 発生を伴わない電子伝達速度から O, 依存的なエレクトロン シンクの活性を評価できる (Sejima et al. 2016, Hanawa et al. 2017)。我々は、2種の藍藻 (Synechocystis sp. PCC 6803 およ

び Synechococcus elongatus PCC 7942) に対して本手法を用い、カルビン回路が抑制される  $CO_2$  補償点において Synechocystis sp. PCC 6803 が独特なエレクトロンシンクを発現して電子伝達速度を維持することを見出した(Hayashi et al. 2014)。

我々が Synechocystis sp. PCC 6803 において見出したエレク トロンシンクの分子的実体は Flavodiiron タンパク質 (FLV) と呼ばれるフラビンタンパク質であり、光合成生物の中で は藍藻、緑藻、コケ植物、シダ植物、裸子植物、そして一 部の渦鞭毛藻にのみ見つかっている (Helman et al. 2003, Allahverdiyeva et al. 2015, Shimakawa et al. 2015)。藍藻にお ける生理解析から FLV は還元型 Fd を電子供与体として O, の 4 電子還元を触媒すると思われる (Sétif et al. 2020)。 反 応の結果生じる最終産物が H,O であることから、FLV は還 元力を利用した物質生産というより, むしろ余剰な還元力を 安全に散逸するために機能すると考えられ,実際に FLV を 欠損した変異体では過剰電子の蓄積による PSII や PSI の光 傷害が観察されている (Zhang et al. 2009, Allahverdiyeva et al. 2013, Shimakawa et al. 2016a)。FLV をコードする遺伝子 は藍藻において普遍的に認められるが、FLV が発揮するエ レクトロンシンク能は種によって大きな差がある。上述した Synechococcus elongatus PCC 7942 では FLV は実際に発現して O,の光還元に寄与するが、その一方で Synechocystis sp. PCC 6803 のように、カルビン回路に取って代われるようなエレク トロンシンク能をもつことはない (Shimakawa et al. 2015)。 これは藍藻 Synechococcus elongatus PCC 7942 が光過剰な条件 下において FLV を利用して「過剰な電子を逃がす」のではな く、Cyt bfにおける電子伝達に強力なブレーキをかけ、PSI 周辺に「過剰電子を蓄積させない」戦略を取るためと考えら れる (Shaku et al. 2016, Shimakawa et al. 2018)。その証拠に、 また別種の海洋性藍藻 Synechococcus sp. PCC 7002 ではカル ビン回路が抑制される条件において FLV のエレクトロンシン ク能が極めて大きく、Cyt b, fにおける電子伝達抑制がほとん どみられなかった (Shimakawa et al. 2016b, Shimakawa et al. 2016a)。有毒な活性酸素が生じやすい PSI 周辺をいかに酸化 的に保つのか、藍藻種によってその戦略に好き嫌いがあるの だろう。上の例でいえば Synechococcus elongatus PCC 7942 と 比べて Synechococcus sp. PCC 7002 は生育速度や最大光合成 速度が高く,光合成を活発に行う環境に適応してきたと推察 される。FLV が触媒する O2 光還元反応の詳細については別 途執筆した最新の総説を参照いただけると幸甚である(嶋川 2025)。また追記すべきこととして, 我々が評価した O, 発生 を伴わない電子伝達速度には O, 依存的エレクトロンシンクの 他に PSII 循環的電子伝達の活性が含まれるが (Falkowski et al. 1986, Miyake et al. 2002), 本旨から少し外れてしまうため 本稿では詳しく説明しない。

さて、真核藻類ではどうだろうか?我々は藍藻で確立した 評価系を用いて緑藻 Chlamydomonas reinhardtii、ユーグレナ 藻 Euglena gracilis、珪藻 Phaeodactylum tricornutum の  $O_2$  依 存的なエレクトロンシンク能を評価した(Shimakawa et al. 2016b, Shimakawa et al. 2017a)。その結果は三者三様であ る。緑藻 C. reinhardtii では CO, 補償点においてカルビン回路 の約半分程度のエレクトロンシンク能が認められ、それが高 いO、親和性を示した(図2)。この特徴は藍藻で観測された 前述のものと一致しており、FLV をコードする遺伝子が緑藻 にも広く保存されることから、C. reinhardtii ではカルビン回路 の他に FLV が主要な還元力の受け口になっていると考えられ る (Chaux et al. 2017, Burlacot et al. 2018)。 E. gracilis におい ては, C. reinhardtii と同程度のエレクトロンシンク能がみら れた一方で、それが O、濃度に対して二相的な依存性を示すこ と, また E. gracilis が FLV をもたないことから, 高 O, 親和性 と低 O。親和性 2 つのエレクトロンシンクが関与すると推定さ れ(図2), その実体については今なお未解明である。珪藻 P. tricornutum では、カルビン回路の抑制に追随して電子伝達活 性が低下したことから、O, 依存的なエレクトロンシンクの活 性が非常に小さいと考えられた(図2)。

C3 植物で大きなエレクトロンシンク能を発揮する光呼吸について、ここまでの説明でほとんど触れてこなかった。実際、藍藻や緑藻で観測される  $O_2$  依存的なエレクトロンシンクの実体は FLV であり、光呼吸が主要なエレクトロンシンクとして機能することを示すデータは得られていない(Shimakawa et al. 2015, Shimakawa et al. 2017a)。強いて言えば、 $E.\ gracilis$ での生理解析において検出された  $O_2$  低親和性のエレクトロンシンクのみ光呼吸との関連が疑われる(RuBisCO のオキシゲナーゼ反応は  $O_2$  親和性が低いため)。光呼吸関連遺伝子が多くの藻類で保存されていることを踏まえると(Hagemann et

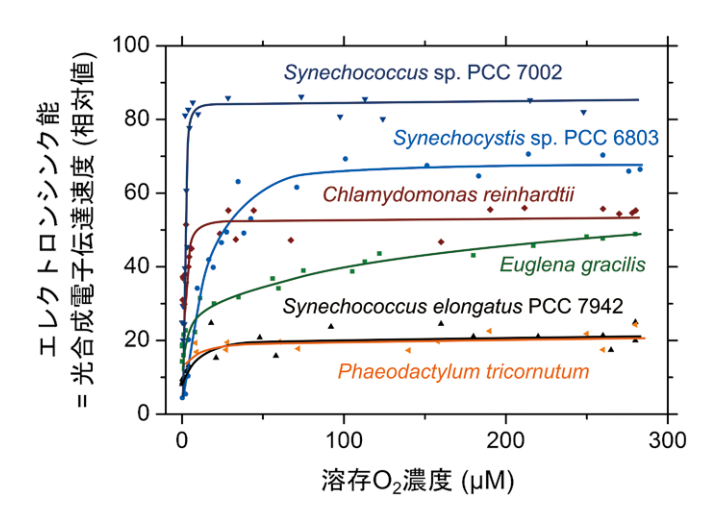


図 2. 藍藻 Synechocystis sp. PCC 6803 (青 $\bullet$ ), Synechococcus elongatus PCC 7942 (黒 $\bullet$ ), Synechococcus sp. PCC 7002 (紺 $\bullet$ ), 緑藻 Chlamydomonas reinhardtii (臙脂 $\bullet$ ), ユーグレナ藻 Euglena gracilis (緑 $\bullet$ ), 珪藻 Phaeodactylum tricornutum (橙 $\bullet$ ) におけるカルビン 回路抑制時 (CO<sub>2</sub> 補償点) のエレクトロンシンク能およびその O<sub>2</sub> 濃度依存性. Shimakawa et al. (2017) におけるデータから作図した. 各生物種において凡そ光飽和強度の励起光を照射して解析を行った. 各生物種において縦軸の 100% がカルビン回路のエレクトロンシンク能 (CO, 飽和条件) に相当する.

162 櫻田・嶋川

al. 2013), 藍藻や真核藻類においては光呼吸が存在しつつも, その活性が非常に低いのだろう。カルボキシソームやピレノイドなどにみられるように RuBisCO を集積することで構造的にオキシゲナーゼ反応を抑制しているのかもしれない。また C. reinhardtii や E. gracilis では光呼吸の中間代謝産物が PGA に変換される前に細胞外へ排出されることも報告されている (Peltier & Thibault 1985, Yokota & Kitaoka 1987)。冒頭に述べた光呼吸の代謝様式や生理機能はあくまで C3 植物に限った話なのだ。

話を戻すが、藍藻および真核藻類における  $O_2$  依存的エレクトロンシンクの活性評価を経て、植物とは異なり藻類で還元力の消費にはたらくエレクトロンシンクは極めて多彩であることが分かった。種によって過剰な還元力の受け口として  $O_2$  を利用するものと、そうでないものに分かれ、なおかつ  $O_2$  を利用するものも異なる分子メカニズムを保持する。では、 $O_2$  依存的なエレクトロンシンク能が小さかった種(P. tricornutum など)ではカルビン回路が光合成電子伝達で生じる還元力の消費を一手に担っているのか?実はそうでもなさそうだ。

## 光合成指数と O, 非依存的エレクトロンシンク

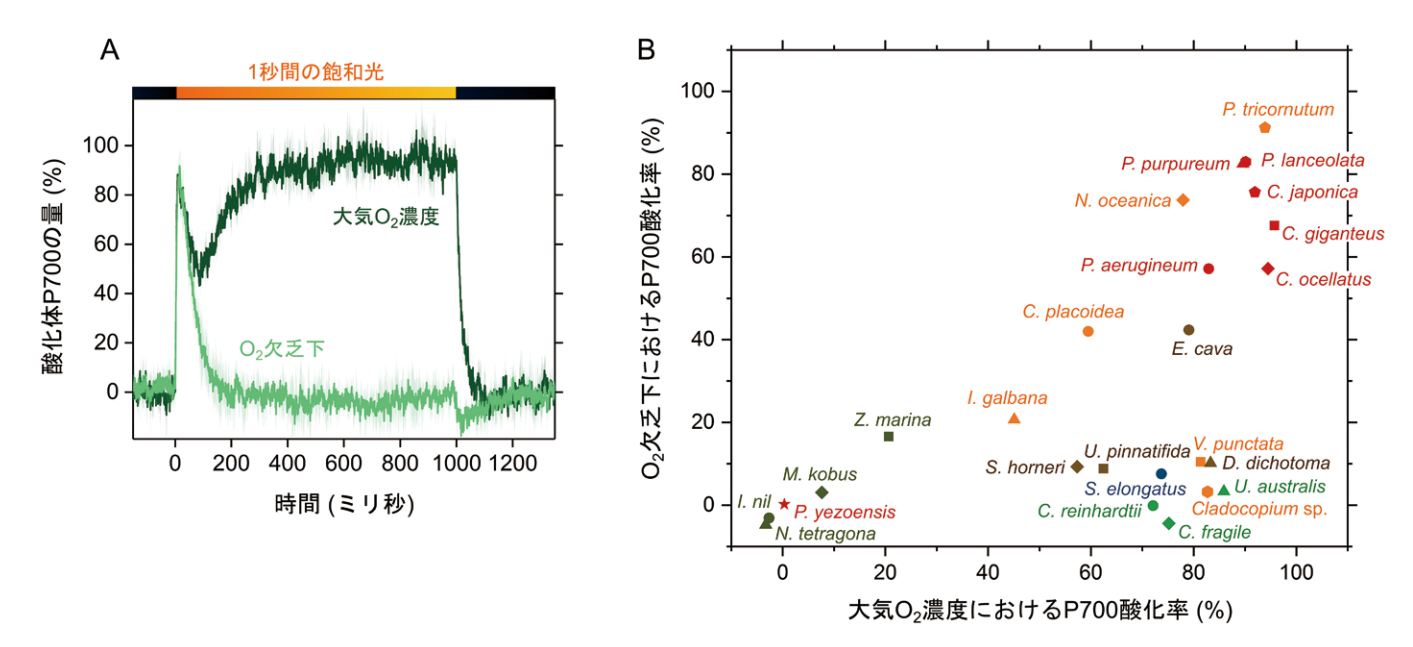
冒頭において、光合成では1分子のCO、を固定する際に1 分子の O, が生じると述べたが、この見積もりは電子伝達で生 じた還元力が全てカルビン回路で消費されることを前提とし ており、その他のエレクトロンシンクの影響を考慮していな い。例えば FLV による O、還元がエレクトロンシンクとしては たらけば、その分だけ  $CO_2$  の代わりに  $O_2$  が消費される。た だしこの場合は、PSII における O, 発生と FLV による O, 還元 がプラスマイナスゼロであるため、見かけ上の全体収支は変 わらず CO, 固定と O, 発生が等量で生じる(ちなみに植物の 光呼吸がエレクトロンシンクとして機能した場合でも、ペル オキシソームにおける過酸化水素の生成と消去、ミトコンド リアにおける CO, 発生、葉緑体におけるアンモニア同化など、 光呼吸関連代謝を全て加味すれば、この見かけ上の $CO_2$ と $O_2$ の化学量論は変化しない)。それでは、光合成電子伝達で生じ た還元力が、カルビン回路でも O, でもない別の受け口で消費 された場合はどうだろうか?その場合, 光合成細胞では見か け上の CO, 固定量を上回る O, 発生が観測される。光合成に おける「O,発生/CO,固定量比」は光合成指数または光合成 比(photosynthetic quotient)として古くから一部の藻類研究 者の間で用いられ、単細胞藻類を中心に1を越える値(培養 条件によっては~7に及ぶ)が報告されてきた(Buesa 1980, Williams & Robertson 1991, Halsey et al. 2013, 嶋川 2024)。 この実験データは,藻類において光合成電子伝達で生じた還 元力のほとんどがカルビン回路でも O, 依存的エレクトロンシ ンクでもない別の反応で消費されることを意味する。その一 方で、実験では基本的に気体の CO、が定量されるため、液中 にイオン態で溶け込んだ無機炭素量が見過ごされており、光 合成指数が過大評価されている懸念もあった。そこで我々は, 珪藻 P. tricornutum において光合成で固定される全無機炭素量

(CO<sub>2</sub>, HCO<sub>3</sub>-, CO<sub>3</sub><sup>2-</sup>) を精密定量できるガスクロマトグラ フィーシステム(※本システムは関西学院大学松田研究室で 独自に立ち上げられたもの)を利用して光合成指数を評価し た (Shimakawa & Matsuda 2024)。その結果, P. tricornutum では CO, 固定に対して凡そ 1.5 倍量の O, 発生が観測された。 このことは、珪藻 P. tricornutum において電子伝達で生じた還 元力の約3分の1がカルビン回路ともO,とも異なる別のエレ クトロンシンクへ流れていることを意味する。もちろん藻類 の細胞内には還元力を必要とする様々な代謝が存在し、中で も窒素同化代謝は、硝酸・亜硝酸の還元やグルタミン酸合成 酵素の反応に電子を必要とすることから高いエレクトロンシ ンク能が期待される (Weger & Turpin 1989)。 しかしながら、 アンモニア態窒素による培養やグルタミン酸合成酵素阻害剤 処理によっても光合成指数に変化はなく、むしろ窒素飢餓に さらされて光合成活性が低下した細胞において CO, 固定量に 対する O<sub>2</sub> 発生量が 2.5 倍へ増加したことから (Shimakawa & Matsuda 2024), P. tricornutum にみられる高い光合成指数 の原因は窒素同化代謝ではなさそうである。その他の候補と しては、脂質合成、アミノ酸代謝、さらには硫化ジメチル代 謝などが考えられるが、いずれにおいてもカルビン回路に匹 敵するエレクトロンシンク能をもつことがあれば驚きである。 また現在我々の研究室では,多種多様な藻類において光合成 指数の評価を進めており、将来的には系統的・生態的背景と の関連性が明らかになることを期待している。

#### エレクトロンシンクが支える安心・安全な光合成

冒頭で述べたように、光合成生物におけるエレクトロンシ ンクは様々な生理機能をもつ。例えばカルビン回路は CO, の 同化、光呼吸は 2-ホスホグリコール酸の代謝および PGA の再 生成を担っている。またその他に、還元力を O, へ捨てる FLV などにも共通してあてはまる生理機能として還元力の安全な 散逸も挙げられる。植物や藻類は自然環境でしばしば必要以 上の光にさらされ、それによって生じる過剰な還元力は PSII や PSI において有毒な活性酸素を生成する要因となる。中で も PSI の過還元による活性酸素生成は光合成生物を死に至らし めるほどの危険性をもつため、光合成生物は、過剰な光にさら された時こそ PSI 周辺を酸化的に保つ応答を示す(Sejima et al. 2014, 嶋川·三宅 2017, Shimakawa & Miyake 2018, Furutani et al. 2023)。その P700 酸化応答に一役買っているのが、次の 段落で示す通りエレクトロンシンクである。裏を返せば、過 剰な光にさらされた時の PSI 周辺の酸化還元応答を観察する ことで、その生物がもつエレクトロンシンクを機能的な側面 から評価できる。PSIの酸化還元は、その反応中心クロロフィ ルである P700 の酸化体が近赤外領域に特異的な吸収を示す ことから非破壊的に測定することが可能である(Harbinson & Woodward 1987)<sub>o</sub>

我々は、藍藻、真核藻類、植物など様々な光合成生物 24 種に対して、暗順化後 1 秒間の飽和光照射(2,000  $\mu$ mol photons  $m^{-2}$   $s^{-1}$ ; 夏の直射日光と同程度の光強度)によって過



剰光環境を再現し、一部の藻類における P700 酸化応答パター ンに FLV が関与していることを明らかにした (Shimakawa et al. 2019)。一般的にカルビン回路(および光呼吸)は暗順化 によって不活性化するため、この評価系ではその影響が最小 限のはずである。例えば緑藻アナアオサ(Ulva australis)で は光照射中にほぼ全ての P700 が酸化状態で保たれるが、グ ルコースオキシダーゼ処理によって O, を除去した場合すべて の P700 が光照射中に還元状態にあった (図 3A)。実際のとこ ろ光照射下において P700 は光酸化還元サイクルを繰り返し ており、電子の流入と流出のバランスによってその酸化還元 レベルが決まる訳だが、アナアオサの結果からは、大気O<sub>2</sub>濃 度において電子の流入が律速であったものが、O,除去によっ て電子受容体側の反応が律速になってしまったことを反映し ている。アナアオサにみられた P700 酸化応答パターンは藍 藻、緑藻、コケ植物などに共通しており、それぞれの生物に おける FLV 欠損変異体の解析から、FLV がエレクトロンシン クとして機能した結果であることが分かっている(Helman et al. 2003, Chaux et al. 2017, Shimakawa et al. 2017b)。なお被 子植物では O,の有無によらず P700 は 1 秒間の光照射中に ずっと還元状態を保ってしまい、この操作を続けると PSI が 光傷害を受けて失活する。これより P700 が酸化的に維持さ れないことが光合成生物にとってどれほど危険な状態か理解 できる。図3Bには、それぞれO,存在下・非存在下におい て光照射中にどれだけ P700 が酸化的に維持されていたかを プロットした。ここから種によって活性酸素生成を防ぐため の戦略およびO、への依存度にどれほど大きな違いがあるこ とがうかがえる。多くの紅藻や紅藻由来葉緑体をもつ藻類で は O, の有無によらず P700 が酸化されることから, O, 非依 存的なエレクトロンシンクが機能する, あるいは暗順化に関 係なくカルビン回路が高いエレクトロンシンク能を有してい ることなどが推定される。興味深いのは真正眼点藻 Vischeria punctata やワカメ (Undaria pinnatifida) などの褐藻類であ り、O。依存的なエレクトロンシンクが P700 酸化に貢献する 示唆が得られた。これら紅藻由来葉緑体をもつ藻類は系統的 に FLV をもたないと推定され、その代わりに他の生物と異な り Plastid terminal oxidase などの寄与が大きい, あるいは未 知の分子がエレクトロンシンクとして P700 酸化に機能する といった可能性が考えられる。一方で、紅藻由来葉緑体をも つ藻類の中でもシンビオディニウム科の渦鞭毛藻である褐虫 藻では例外的に FLV をコードする遺伝子が認められ、O, に依 存した P700 酸化応答も観測された (Shimakawa et al. 2022)。 褐虫藻はサンゴなど動物と細胞内共生して光合成を行うため, 過剰な光エネルギーから逃げられず、過剰な還元力を散逸す るシステムが必要だったのかもしれない。また面白い事に,

164 櫻田・嶋川

紅藻の中でもスサビノリ(Pyropia yezoensis)のみ、被子植物と同様に P700 を酸化できないことが分かった。これについてはスサビノリのもつエレクトロンシンク能が他の種と比べて極めて小さいこと、あるいは PSII から PSI への電子流入が比較的大きいことなどが予想されるが、その答えは今もなお分かっておらず、またスサビノリの系統的・生態的背景との関連についても不明である。

### おわりに

本稿では、藻類における多様なエレクトロンシンクについ て、光合成における還元力の消費に寄与しているものを中心 に紹介したが、ここで述べたこともその全体像の一端に過ぎ ないだろう。これまで生理解析によってエレクトロンシンク が調べられてきた単細胞藻類は、実験に十分な細胞量が得ら れる種(すなわち実験室での培養が可能な種)に限定されて おり、今後は解析機器の感度向上や難培養藻類における培養 法の確立などによってさらなる多様性がみえてくることが期 待される。また E. gracilis にみられた O, 依存的エレクトロン シンクや P. tricornutum において推定される O。非依存的エレ クトロンシンクなど藻類におけるエレクトロンシンクは生理 現象として捉えられている一方で、その分子メカニズムが未 解明であるものが多い。これについては、近年 Cas9-gRNA 複 合体の直接導入によるゲノム編集など非モデル生物種に対す る分子生物学ツールが発達してきており, 近い将来にはより 容易に新規生命現象の分子メカニズム解明に取り組むことが できるようになると期待する。冒頭で述べたように藻類は様々 な自然環境に生息する。今後は実験室レベルで解き明かされ た多様なエレクトロンシンクについて、より生態的な視点を もって藻類が生育する実環境における生理的意義を考えてい く必要もあるだろう。

#### 謝辞

本稿執筆の機会を与えてくださった大沼亮先生(神戸大学) および岩滝光儀先生(東京大学)に深く感謝申し上げます。 また本稿は学術変革領域光合成ユビキティ(24H02102)に おける活動の一環として執筆いたしました。

#### 引用文献

- Allahverdiyeva, Y., Isojarvi, J., Zhang, P. & Aro, E. M. 2015. Cyanobacterial oxygenic photosynthesis is protected by flavodiiron proteins. Life 5: 716–743.
- Allahverdiyeva, Y., Mustila, H., Ermakova, M. *et al.* 2013. Flavodiiron proteins Flv1 and Flv3 enable cyanobacterial growth and photosynthesis under fluctuating light. Proc. Natl. Acad. Sci. U.S.A. 110: 4111–4116.
- Alric, J. & Johnson, X. 2017. Alternative electron transport pathways in photosynthesis: a confluence of regulation. Curr. Opin. Plant Biol. 37: 78–86.
- Buesa, R. 1980. Photosynthetic quotient of marine plants. Photosynthetica 14: 337–342.

- Burlacot, A., Sawyer, A., Cuiné, S. et al. 2018. Flavodiiron-mediated O<sub>2</sub> photoreduction links H<sub>2</sub> production with CO<sub>2</sub> fixation during the anaerobic induction of photosynthesis. Plant Physiol. 177: 1639–1649.
- Chaux, F., Burlacot, A., Mekhalfi, M. et al. 2017. Flavodiiron proteins promote fast and transient O<sub>2</sub> photoreduction in *Chlamydomonas*. Plant Physiol. 174: 1825–1836.
- Driever, S. M. & Baker, N. R. 2011. The water–water cycle in leaves is not a major alternative electron sink for dissipation of excess excitation energy when CO<sub>2</sub> assimilation is restricted. Plant Cell Environ. 34: 837–846.
- Falkowski, P. G., Fujita, Y., Ley, A. & Mauzerall, D. 1986. Evidence for cyclic electron flow around photosystem II in *Chlorella* pyrenoidosa. Plant Physiol. 81: 310–312.
- Furutani, R., Wada, S., Ifuku, K., Maekawa, S. & Miyake, C. 2023. Higher reduced state of Fe/S-signals, with the suppressed oxidation of P700, causes PSI inactivation in *Arabidopsis thaliana*. Antioxidants 12: 21.
- Hagemann, M., Fernie, A. R., Espie, G. S. et al. 2013. Evolution of the biochemistry of the photorespiratory C2 cycle. Plant Biol. 15: 639– 647
- Halsey, K. H., O'Malley, R. T., Graff, J. R., Milligan, A. J. & Behrenfeld, M. J. 2013. A common partitioning strategy for photosynthetic products in evolutionarily distinct phytoplankton species. New Phytol. 198: 1030–1038.
- Hanawa, H., Ishizaki, K., Nohira, K. *et al.* 2017. Land plants drive photorespiration as higher electron-sink: comparative study of post-illumination transient O<sub>2</sub>-uptake rates from liverworts to angiosperms through ferns and gymnosperms. Physiol. Plant. 161: 138–149.
- Harbinson, J. & Woodward, F. I. 1987. The use of light-induced absorbance changes at 820 nm to monitor the oxidation state of P-700 in leaves. Plant Cell Environ. 10: 131–140.
- Hayashi, R., Shimakawa, G., Shaku, K. et al. 2014. O<sub>2</sub>-dependent large electron flow functioned as an electron sink, replacing the steady-state electron flux in photosynthesis in the cyanobacterium Synechocycstis sp. PCC 6803, but not in the cyanobacterium Synechococcus sp. PCC 7942. Biosci. Biotechnol. Biochem. 78: 384–393.
- Helman, Y., Tchernov, D., Reinhold, L. *et al.* 2003. Genes encoding A-type flavoproteins are essential for photoreduction of O<sub>2</sub> in cyanobacteria. Curr. Biol. 13: 230–235.
- Krieger-Liszkay, A. & Shimakawa, G. 2022. Regulation of the generation of reactive oxygen species during photosynthetic electron transport. Biochem. Soc. Trans. 50: 1025–1034.
- Miyake, C., Yonekura, K., Kobayashi, Y. & Yokota, A. 2002. Cyclic electron flow within PSII functions in intact chloroplasts from spinach leaves. Plant Cell Physiol. 43: 951–957.
- Peltier, G. & Thibault, P. 1985. Light-dependent oxygen uptake, glycolate, and ammonia release in L-methionine sulfoximine-treated *Chlamydomonas*. Plant Physiol. 77: 281–284.
- Sejima, T., Hanawa, H., Shimakawa, G. et al. 2016. Post-illumination transient O<sub>2</sub>-uptake is driven by photorespiration in tobacco leaves. Physiol. Plant. 156: 227–238.
- Sejima, T., Takagi, D., Fukayama, H., Makino, A. & Miyake, C. 2014. Repetitive short-pulse light mainly inactivates photosystem I in sunflower leaves. Plant Cell Physiol. 55: 1184-1193.
- Sétif, P., Shimakawa, G., Krieger-Liszkay, A. & Miyake, C. 2020. Identification of the electron donor to flavodiiron proteins in *Synechocystis* sp. PCC 6803 by *in vivo* spectroscopy. Biochim. Biophys. Acta Bioenerg, 1861: 148256.

- Shaku, K., Shimakawa, G., Hashiguchi, M. & Miyake, C. 2016. Reduction-induced suppression of electron flow (RISE) in the photosynthetic electron transport system of *Synechococcus* elongatus PCC 7942. Plant Cell Physiol. 57: 1443–1453.
- 嶋川銀河 2024. 光合成のブラックボックス ~電子は何処へ? ~. 生物工学会誌 102: 182.
- 嶋川銀河 2025. 葉緑体における酸素還元反応. 低温科学 83:1-8.
- Shimakawa, G., Akimoto, S., Ueno, Y. et al. 2016b. Diversity in photosynthetic electron transport under [CO<sub>2</sub>]-limitation: the cyanobacterium *Synechococcus* sp. PCC 7002 and green alga *Chlamydomonas reinhardtii* drive an O<sub>2</sub>-dependent alternative electron flow and non-photochemical quenching of chlorophyll fluorescence during CO<sub>2</sub>-limited photosynthesis. Photosynth. Res. 130: 293–305.
- Shimakawa, G., Ishizaki, K., Tsukamoto, S., Tanaka, M., Sejima, T. & Miyake, C. 2017b. The liverwort, *Marchantia*, drives alternative electron flow using a flavodiiron protein to protect PSI. Plant Physiol. 173: 1636–1647.
- Shimakawa, G. & Matsuda, Y. 2024. Extra O<sub>2</sub> evolution reveals an O<sub>2</sub>-independent alternative electron sink in photosynthesis of marine diatoms. Photosynth. Res. 159: 61–68.
- Shimakawa, G., Matsuda, Y., Nakajima, K., Tamoi, M., Shigeoka, S. & Miyake, C. 2017a. Diverse strategies of O<sub>2</sub> usage for preventing photo-oxidative damage under CO<sub>2</sub> limitation during algal photosynthesis. Sci. Rep. 7: 41022.
- 嶋川銀河・三宅親弘 2017. 植物が安心して光合成できるワケ: PS I を光傷害から護る P700 酸化システム. 光合成研究 27: 4-15.
- Shimakawa, G. & Miyake, C. 2018. Oxidation of P700 ensures robust photosynthesis. Front. Plant Sci. 9: 1617.
- Shimakawa, G., Murakami, A., Niwa, K., Matsuda, Y., Wada, A. & Miyake, C. 2019. Comparative analysis of strategies to prepare electron sinks in aquatic photoautotrophs. Photosynth. Res. 139: 401–411.

- Shimakawa, G., Shaku, K. & Miyake, C. 2016a. Oxidation of P700 in photosystem I is essential for the growth of cyanobacteria. Plant Physiol. 172: 1443–1450.
- Shimakawa, G., Shaku, K. & Miyake, C. 2018. Reduction-induced suppression of electron flow (RISE) is relieved by non-ATPconsuming electron flow in *Synechococcus elongatus* PCC 7942. Front. Microbiol. 9: 886.
- Shimakawa, G., Shaku, K., Nishi, A. et al. 2015. FLAVODIIRON2 and FLAVODIIRON4 proteins mediate an oxygen-dependent alternative electron flow in *Synechocystis* sp. PCC 6803 under CO<sub>2</sub>limited conditions. Plant Physiol. 167: 472–480.
- Shimakawa, G., Shoguchi, E., Burlacot, A. et al. 2022. Coral symbionts evolved a functional polycistronic flavodiiron gene. Photosynth. Res. 151: 113–124.
- Weger, H. G. & Turpin, D. H. 1989. Mitochondrial respiration can support NO<sub>3</sub><sup>-</sup> and NO<sub>2</sub><sup>-</sup> reduction during photosynthesis: Interactions between photosynthesis, respiration, and N assimilation in the N-limited green alga *Selenastrum minutum*. Plant Physiol. 89: 409–415.
- Williams, P. J. I. & Robertson, J. E. 1991. Overall planktonic oxygen and carbon dioxide metabolisms: the problem of reconciling observations and calculations of photosynthetic quotients. J. Plankton Res. 13: 153–169.
- Yokota, A. & Kitaoka, S. 1987. Rates of glycolate synthesis and metabolism during photosynthesis of Euglena and microalgae grown on low CO<sub>2</sub>. Planta 170: 181–189.
- Zhang, P., Allahverdiyeva, Y., Eisenhut, M. & Aro, E. M. 2009. Flavodiiron proteins in oxygenic photosynthetic organisms: photoprotection of photosystem II by Flv2 and Flv4 in *Synechocystis* sp. PCC 6803. PLoS One 4: e5331.

(2025 年 4 月 30 日受付, 2025 年 6 月 17 日受理) 通信担当編集委員:大沼 亮